

УДК 537.638.214

МАГНИТНАЯ ФАЗОВАЯ ДИАГРАММА АНТИФЕРРОМАГНИТНЫХ ПОЛУПРОВОДНИКОВ $\text{Cr}_x\text{Mn}_{1-x}\text{S}$

Г. А. Петраковский, С. С. Аплеснин, Г. В. Лосева, Л. И. Рябинкина

На основе экспериментальных исследований магнитной восприимчивости, электропроводности и расчетов методом Монте-Карло обменных взаимодействий, спин-спиновых корреляционных функций предлагается магнитная фазовая диаграмма системы антиферромагнитных полупроводников $\text{Cr}_x\text{Mn}_{1-x}\text{S}$ ($0 < x < 0.7$) с гранецентрированной кубической (ГЦК) решеткой $\alpha\text{-MnS}$.

В системах магнитных полупроводников $\text{Me}_x\text{Mn}_{1-x}\text{S}$ (Me —3d-металл), созданных на основе $\alpha\text{-MnS}$ (антиферромагнитный полупроводник с ГЦК решеткой), реализуется концентрационный переход металл—диэлектрик типа Андерсона [1].

В настоящей работе экспериментально исследуются температурные зависимости магнитной восприимчивости, электропроводности и проводится расчет методом Монте-Карло обменных взаимодействий, спин-спиновых корреляционных функций системы $\text{Cr}_x\text{Mn}_{1-x}\text{S}$ с целью изучения корреляции изменения магнитного порядка и типа проводимости в этой системе антиферромагнитных полупроводников, претерпевающих переход металл—диэлектрик.

1. Экспериментальные результаты

Рентгеноструктурные исследования образцов $\text{Cr}_x\text{Mn}_{1-x}\text{S}$, полученных по керамической технологии из чистых элементов в вакуумированных кварцевых ампулах, показали, что исследуемые образцы составов $0 < x < 0.7$ представляют собой твердые растворы со структурой $\alpha\text{-MnS}$, параметр элементарной ячейки которой ($a=5.222 \text{ \AA}$ для $x=0$) линейно уменьшается на 1.3 % при 300 К с возрастанием x до 0.67. Для $x > 0.7$ образцы представляют собой систему из сульфидов марганца и хрома. Особенностью ГЦК решетки $\alpha\text{-MnS}$ (структура NaCl) является наличие беспорядочно расположенных катионных вакансий и возможность создавать непрерывные ряды твердых растворов типа $\text{NaCl}-\text{NiAs}$ со структурой NaCl , например $\text{MnS}-\text{CrS}$, $\text{MnS}-\text{FeS}$ [2, 3]. Из нейтронографических исследований [4] установлено, что решетка $\alpha\text{-MnS}$ сохраняется в твердых растворах $\text{MnS}\cdot2\text{CrS}$, $2\text{MnS}\cdot\text{CrS}$, т. е. решетка $\alpha\text{-MnS}$ может растворить значительное количество внедренных катионов.

Температурные измерения магнитной восприимчивости, проведенные методом Фарадея в поле 1930 Э в откаченных кварцевых ампулах в области температур 77—500 К, показали, что исследуемые твердые растворы $\text{Cr}_x\text{Mn}_{1-x}\text{S}$ являются антиферромагнетиками (АФМ) с величиной $\chi_{300 \text{ K}} \sim (60 \div 70) \cdot 10^{-6} \text{ СГСМ/г}$, температура Нееля T_N которых возрастает от 148 К для $\alpha\text{-MnS}$ до 240 К для $\text{Cr}_{0.67}\text{Mn}_{0.33}\text{S}$. На рис. 1 представлен температурный ход χ (T/T_N) для составов с $x=0$ (а) и 0.5 (б), с пиками в криевых, соответствующими T_N при 148 и 180 К, и с изломами в парамагнитной области при 350—360 К. Для состава $\text{Cr}_{0.5}\text{Mn}_{0.5}\text{S}$, кроме того, уста-

новлен дополнительный излом ниже T_N (рис. 1, б). Величины T_N для различных x системы $\text{Cr}_x\text{Mn}_{1-x}\text{S}$, полученные из магнитной восприимчивости, согласуются с определением T_N из нейтронографических исследований, а также с данными температурных измерений удельного электросопротивления ρ (T). Измерения ρ (T) выполнены в вакуумированных кварцевых ампулах четырехзондовым потенциометрическим методом в интервале температур 77–1000 К. При замещении марганца хромом в $\text{Cr}_x\text{Mn}_{1-x}\text{S}$ ($0 < x < 0.5$) экспоненциальный характер кривой $\lg \rho$ (T) в магнитоупорядоченной области изменяется от типично полупроводникового для $x=0$, 0.33 до вырожденного полупроводника для $x=0.5$. Проводимость твердого раствора $\text{Cr}_{0.5}\text{Mn}_{0.5}\text{S}$ возрастает на 2 порядка при 300 К относи-

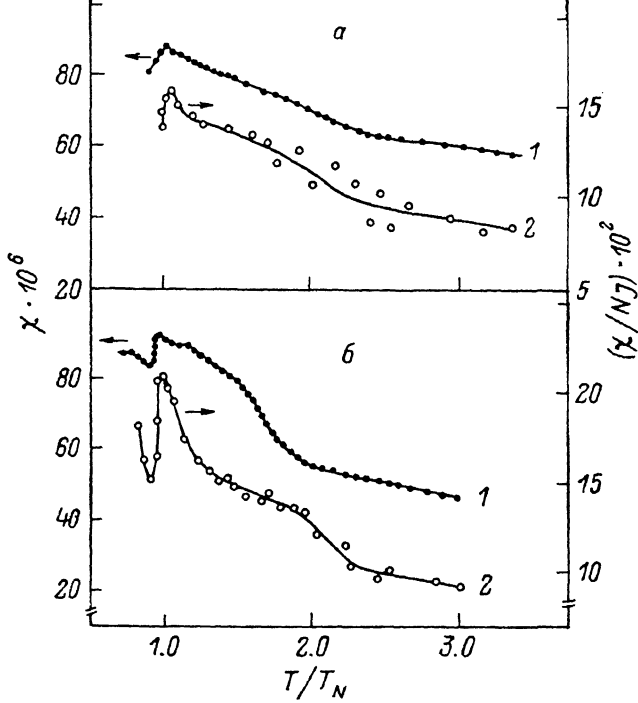


Рис. 1. Температурная зависимость магнитной восприимчивости $\text{Cr}_x\text{Mn}_{1-x}\text{S}$.
1 — эксперимент, 2 — расчет.

тельно α -MnS, а в области 77–300 К увеличивается на 7 порядков. Для состава с $x=0.67$ величина удельного электросопротивления в области антиферромагнитного упорядочения уменьшается на 8 порядков относительно α -MnS ($x=0$). При этом зависимость $\lg \rho$ (T) для $x=0.67$ имеет безактивационный характер. Концентрационный ход кривых $\lg \rho$ (T) в системе антиферромагнитных полупроводников $\text{Cr}_x\text{Mn}_{1-x}\text{S}$ типичен для неупорядоченных систем с переходом металл—диэлектрик типа Андерсона [5]. Критическая концентрация $x_c \approx 0.67$.

Из нейтронографических исследований $\text{Cr}_x\text{Mn}_{1-x}\text{S}$ ($0 \leq x < 0.7$) обнаружено, что с ростом концентрации хрома изменяется магнитный порядок [4]. В результате антиферромагнитная структура II типа в α -MnS (аналогичная MnO), где ферромагнитные плоскости (111) упорядочены антиферромагнитно, исчезает для $\text{Cr}_{0.67}\text{Mn}_{0.33}\text{S}$ и формируется антиферромагнитное упорядочение I типа, где ферромагнитными плоскостями являются плоскости (001) с чередованием моментов в направлении [001].

Перестройка антиферромагнитного упорядочения от II к I типу и величины обменных взаимодействий в этой системе были изучены в настоящей работе с помощью численного моделирования методом Монте-Карло.

2. Обсуждение результатов

Для определения обменных взаимодействий в твердых растворах $\text{Cr}_x\text{Mn}_{1-x}\text{S}$ используем экспериментальные значения нормированной температуры Нееля и критическую концентрацию образования антиферромагнитного дальнего порядка I типа ($x_c=0.67$) в ГЦК решетке, найденную из нейтронографических измерений [4]. Магнитные свойства $\text{Cr}_x\text{Mn}_{1-x}\text{S}$ исследуем в модели Изинга с гамильтонианом

$$H = - \sum_{\alpha, \beta=A, B} J_{\alpha\beta} \sum_{i, h} P_\alpha(i) P_\beta(i+h) c_\alpha(i) c_\beta(i+h) - \\ - \sum_{\alpha, \beta=A, B} K_{\alpha\beta} \sum_{i, \Delta} P_\alpha(i) P_\beta(i+\Delta) c_\alpha(i) c_\beta(i+\Delta), \quad (1)$$

где $J_{\alpha, \beta}$ и $K_{\alpha, \beta}$ — обменные взаимодействия в 1-й и 2-й координационных сферах. Оператор проектирования $P_\alpha(i)$ равен единице на узле, занятом спином S_α , и нулю в прочих случаях. При концентрации атомов Cr $\overline{P_{\text{Cr}}(i)} \equiv x$ концентрация атомов Mn $\overline{P_{\text{Mn}}(i)} \equiv 1 - x$.

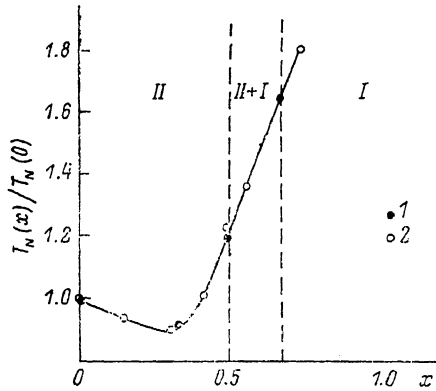


Рис. 2. Зависимость нормированной температуры Нееля $T_N(x)/T_N(0)$ от концентрации атомов хрома x в системе $\text{Cr}_x\text{Mn}_{1-x}\text{S}$.

1 — эксперимент, 2 — расчет. Штриховыми линиями обозначены границы фаз магнитного упорядочения I и II типа в ГЦК решетке.

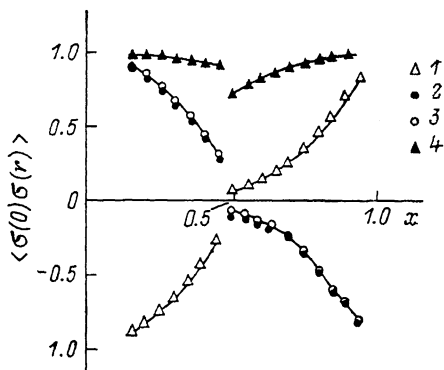


Рис. 3. Зависимость спин-спиновых корреляционных функций $\langle \sigma(0)\sigma(r) \rangle$, вычисленных в ГЦК решетке для системы $\text{Cr}_x\text{Mn}_{1-x}\text{S}$ от концентрации атомов хрома x .

1 — вдоль ребер куба [010] и [001], 2 — по диагонали [011] для $r=1$, 3 — по диагонали [011] для $r=7$, 4 — параметр Эдвардса—Андерсона q .

Обменные взаимодействия J_{MnMn} и K_{MnMn} в $\alpha\text{-MnS}$ определены из измерения магнитной восприимчивости и нейтронографических данных. Остальные обмены между атомами Mn—Cr и Cr—Cr найдем путем численного моделирования методом Монте-Карло [6] для ГЦК решетки с числом спинов $N=4000$ с периодическими граничными условиями. Для определения температуры Нееля и магнитной структуры вычислим квадрат среднего значения спина (параметр Эдвардса—Андерсона) $q=\langle \sigma^2 \rangle$, магнитную восприимчивость χ , спин-спиновые корреляционные функции $\langle \sigma(0)\sigma(r) \rangle$ (r — расстояние между спинами, нормированное на постоянную решетки $r=\tilde{r}/a$) по трем направлениям [010], [001] и [011]. Кроме того, вычислим функции распределения локальных полей согласно [7].

На рис. 1 приведены вычисленные значения магнитной восприимчивости для составов с $x=0$ и 0.5 . В обоих случаях наблюдается качественное согласие теории и эксперимента.

Наличие фрустрированных связей в ГЦК решетке (АФМ II типа имеет концентрацию фрустрированных связей $c_f=0.5$) приводит к большим флуктуациям параметра порядка, уменьшает его стабильность при повы-

шении температуры. Так, АФМ типа α -MnS имеет энергию на один спин $E/NJ = -10.8$, что значительно больше энергии АФМ с простой кубической решеткой (ПК) $E/NJ = -6$. Однако нормированная температура Нееля для α -MnS $T_N^{\text{ГЦК}}/k_B = 3.8$ (k_B — постоянная Больцмана) меньше $T_N^{\text{ПК}}/k_B = 4.55$ [7]. Разрушение дальнего порядка приводит к локальным неоднородностям в системе и появлению локальных полей, не содержащих фрустрированных связей с сильным ближним порядком. Случайное распределение замещенных атомов хрома в решетке усиливает этот эффект, приводит к еще большему уширению спектра локальных полей. Так, ближний порядок спинов, расположенных в сильных полях, разрушается при более высокой температуре $T > T_N$, что приводит к изломам в кривых $\chi(T)$ в парамагнитной области (рис. 1). Ближний порядок спинов, слабо связанных с матрицей, разрушается при $T < T_N$. Вследствие этого образуется дополнительный излом в температурном поведении восприимчивости ниже T_N (рис. 1, б).

Знаки и величины обменов J_{MnCr} , K_{MnCr} , J_{CrCr} и K_{CrCr} определим путем варьирования этих значений до совмещения теоретически вычисленной концентрационной зависимости температуры Нееля с экспериментальной. Выбор параметров сужается для атомов Cr—Cr, так как $J_{\text{CrCr}} < 0$, $K_{\text{CrCr}} > 0$. Только при этих знаках обменных взаимодействий реализуется АФМ структура I типа. Критическая концентрация образования магнитной структуры I типа ($x_c = 0.67$), определенная из нейтронографических данных, обеспечивает однозначность определения параметров, так как небольшое изменение любого из четырех типов обмена смешает критическую концентрацию. Вычисленные значения обменных интегралов в 1-й (J) и 2-й (K) координационных сферах приведены в таблице.

На рис. 2 изображена магнитная фазовая диаграмма на плоскости нормированная температура Нееля — концентрация, определенная из экспериментальных данных и теоретических расчетов. Магнитная структура I типа появляется при концентрации $x = 0.5$ и с возрастанием x до 0.67 существует с АФМ структурой II типа. При $x = 0.67$ ГЦК решетка имеет магнитную структуру I типа. Спин-спиновые корреляционные функции, вычисленные по трем направлениям, меняют знак при $x = 0.5$ (рис. 3). Корреляционные функции в направлении ребер куба [010] и [001] совпадают. Согласно расчетам корреляционных функций, в интервале $0.5 \leq x \leq 0.67$ на фоне появившегося дальнего порядка I типа существуют кластеры антиферромагнетика с упорядочением II типа, которые определяются из функции распределения локальных полей. Величина возникшего дальнего порядка I типа составляет 5—15 %. При $x > 0.67$ протекание связей K_{MnMn} исчезает, количество связей K_{MnCr} уменьшается и только связи K_{CrCr} образуют бесконечную сеть, что приводит к резкому увеличению спин-спиновых корреляционных функций, характеризующих структуру I типа.

Таким образом, экспериментальные исследования и теоретические расчеты показали, что с возрастанием x в исследованной системе твердых растворов происходит изменение как электронного (переход металл—диэлектрик), так и магнитного (от II к I типу) упорядочения при $x_c = 0.67$.

Найдены значения четырех обменных интегралов между атомами Mn—Cr и Cr—Cr в 1-й и 2-й координационных сферах. На плоскости температура—концентрация определены антиферромагнитные состояния с I и II типом магнитного упорядочения, область смешанных состояний.

Обменные интегралы, определенные методом Монте-Карло для $\text{Cr}_x\text{Mn}_{1-x}\text{S}$

	Mn—Mn	Cr—Cr	Mn—Cr
J	-3.5	-9	-1.1
K	-6.3	+11	-5.3

Список литературы

- [1] Лосева Г. В., Рябинкина Л. И., Овчинников С. Г., Баюков О. А. // ФТТ. 1983. Т. 25. № 12. С. 3717—3719.
- [2] Боган Д., Крейт Дж. Химия сульфидных минералов. М.: Мир, 1981. 575 с.
- [3] Лосева Г. В., Рябинкина Л. И., Емельянова Л. С., Баранов А. В. // ФТТ. 1980. Т. 22. № 12. С. 3698—3700.
- [4] Burlet P., Bertaut E. F. // C. R. Acad. Sc. Paris. 1967. V. B264. N 4. P. 323—326.
- [5] Мотт Н. Ф. Переходы металл—изоляторм. М.: Наука, 1979. 344 с.
- [6] Биндер К. Методы Монте-Карло в статической физике. М.: Мир, 1982. 400 с.
- [7] Петраковский Г. А., Кузьмин Е. В., Аплеснин С. С. // ФТТ. 1982. Т. 24. № 11. С. 3298—3304.

Институт физики
им. Л. В. Киренского СО АН СССР
Красноярск

Поступило в Редакцию
1 июля 1988 г.
В окончательной редакции
23 ноября 1988 г.